

УДК 541.138

## ЭЛЕКТРОХИМИЧЕСКОЕ ВОССТАНОВЛЕНИЕ КИСЛОРОДА НА СУЛЬФИДНЫХ МЕДЬСОДЕРЖАЩИХ МИНЕРАЛАХ

© 2000 г. М. Р. Тарасевич, Г. А. Кудайкулова, К. А. Радюшкина

Институт электрохимии им. А.Н. Фрумкина РАН, Москва

Поступила в редакцию 11.03.99 г.

Методами рентгенофотоэлектронной спектроскопии, циклической вольтамперометрии, врачающегося дискового электрода исследованы состояние поверхности и реакция электрохимического восстановления кислорода на природных образцах борнита, халькопирита и халькозина в боратных буферных растворах. Показано, что поверхность образцов минералов в кислородсодержащей атмосфере покрыта соединениями меди и железа в высшей степени окисления, на которых и происходит реакция электровосстановления кислорода. Предполагается, что электрокатализическая активность сульфидных минералов при катодной поляризации обусловлена участием в реакции электровосстановления кислорода редокс-центров – ионов железа (2+) в борните и халькопирите, а также связанных с сульфидной серой ионов меди (1+) в каждом из исследованных минералов.

Сопряженное электрохимическое восстановление кислорода является одной из важных катодных реакций флотационного процесса. Однако систематические исследования этой реакции выполнены только на пирите ( $\text{FeS}_2$ ) [1–6]. Установлено, что в реакции электровосстановления  $\text{O}_2$  пирит ведет себя как металлический электрод. Окисленная поверхность  $\text{FeS}_2$ , покрытая оксидами и сульфоксидами железа, менее активна, чем восстановленная поверхность. Процесс электровосстановления  $\text{O}_2$  протекает в две стадии с промежуточным образованием пероксида водорода, который электрохимически восстанавливается при потенциалах его образования. Таким образом, суммарный процесс электровосстановления  $\text{O}_2$  на  $\text{FeS}_2$  протекает с присоединением четырех электронов, а лимитирующей является стадия присоединения первого электрона.

Целью настоящей работы являлось изучение реакции электровосстановления  $\text{O}_2$  на медьсодержащих сульфидных минералах: борните –  $\text{Cu}_5\text{FeS}_4$ , халькопирите –  $\text{CuFeS}_2$  и халькозине –  $\text{Cu}_2\text{S}$ .

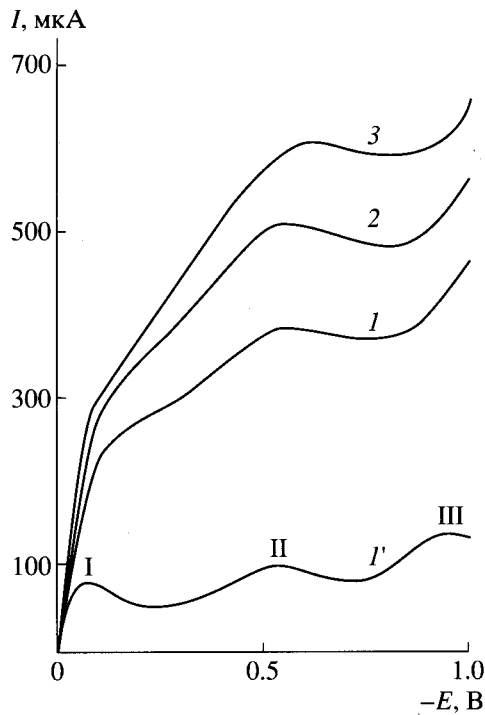
### МЕТОДИКА ЭКСПЕРИМЕНТА

Измерения выполнены на борните и халькозине Джезказганского месторождения и халькопирите Лениногорского месторождения Казахстана. Состав исследованных минералов и структура их поверхностных слоев исследованы методами рентгеноструктурного анализа, рентгенофотоэлектронной спектроскопии (РФЭС), просвечивающей электронной микроскопии, электронографии, микродифрактографии. Измерения содер-

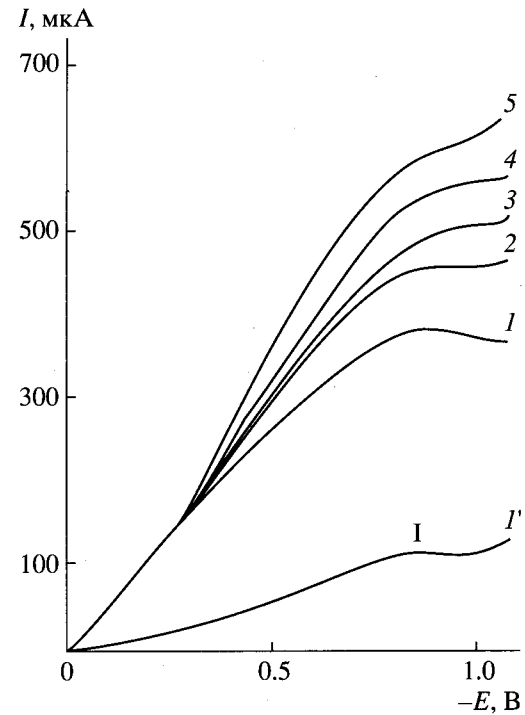
жания отдельных элементов выполнены спектральным и атомно-абсорбционным методами. Рентгенограммы порошкообразных минералов получены на приборе ДРОН-2 с  $\text{CoK}_\alpha$ -излучением по методу Брегга–Вульфа.

Образец борнита в основном представляет собой борнит с небольшим вкраплением джарлеита ( $\text{Cu}_{1.97}\text{S}$  и  $\text{Cu}_{1.93}\text{S}$ ), а также неидентифицированной фазы, вклад которой составляет 4%. Халькопирит идентифицирован как  $\gamma\text{-CuFeS}_{2-x}$  с незначительным дефицитом по сере; халькозин – со следами  $\text{Cu}_{1.97-1.93}\text{S}$ . По данным полуколичественного спектрального анализа, содержание в исследованных сульфидах меди некоторых элементов (Ag, Hg, Si, Sn и Pb) не превышает 10<sup>-2</sup>%. Анализ микрофотографий поверхности частиц минералов, подвергнутых сухому измельчению на воздухе, показал, что минералы состоят из кристаллов овальной формы.

Для измерения поляризационных кривых электровосстановления  $\text{O}_2$  использованы кристаллические образцы борнита и халькопирита, выточенные в форме дисков, которые были запрессованы в тефлоновую оболочку. Порошок халькозина (диаметр частиц  $3.4 < d < 7.0$  мкм) в виде тонкого слоя наносили на поверхность дискового электрода из анизотропного пироуглерода с помощью связующего (2%-ный раствор фторопласта Ф-4Д). Перед снятием поляризационных кривых восстановления кислорода в растворе, насыщенном инертным газом, измеряли циклические вольтамперограммы в интервале потенциалов от стационарного до потенциалов,



**Рис. 1.** Поляризационные кривые электровосстановления  $O_2$  на  $Cu_5FeS_4$  в 0.1 М  $Na_2B_4O_7$  при  $v = 2$  мВ/с и скоростях вращения электрода, об/мин: 1 – 630, 2 – 1120, 3 – 2700. Кривая  $I'$  – катодная вольтамперограмма в атмосфере Не при  $v = 100$  мВ/с.



**Рис. 2.** Поляризационные кривые электровосстановления  $O_2$  на  $CuFeS_2$  в 0.1 М  $Na_2B_4O_7$  при  $v = 2$  мВ/с и скоростях вращения электрода, об/мин: 1 – 630, 2 – 960, 3 – 1120, 4 – 1540, 5 – 2700. Кривая  $I'$  – катодная вольтамперограмма в атмосфере Не при  $v = 100$  мВ/с.

предшествующих катодному разложению минералов. Эти данные характеризовали состояние поверхности минералов. Затем раствор насыщали кислородом и снимали кривые в том же интервале потенциалов при различных скоростях вращения электрода.

Для идентификации соединений, образующихся на поверхности минералов в интервале потенциалов электровосстановления  $O_2$ , снимали РФЭ-спектры минералов после их поляризации при определенных значениях потенциалов. Образцы для измерения РФЭ-спектров получали следующим образом. Кристаллические образцы борнита, халькопирита и халькоцина измельчали на воздухе. Навеску минерала (~1 г) помещали в золоченную платиновую сетку, опускали в предварительно освобожденную от кислорода инертным газом электрохимическую ячейку и поляризовали при заданном потенциале в течение различного времени. Затем образец высушивали в инертной атмосфере и запаивали в ампулы. РФЭ-спектры измеряли на электронном спектрометре ЭС-2402 с использованием  $MgK_{\alpha}$ -излучения в вакууме  $1.3 \times 10^{-5}$  Па.

Раствор 0.1 М  $Na_2B_4O_7$  (рН 9.2) приготавливали на бидистилляте из соли  $Na_2B_4O_7 \cdot 10H_2O$  квали-

фикации “ос.ч.” Потенциалы приведены относительно хлорсеребряного электрода сравнения.

## РЕЗУЛЬТАТЫ И ОБСУЖДЕНИЕ

На рис. 1, 2 приведены поляризационные кривые восстановления кислорода на борните и халькопирите. Для борнита (рис. 1) после начального резкого подъема поляризационной кривой в интервале потенциалов от  $E_{стаци}$  до  $-0.15$  В ( $dE/d\lg I \approx 0.10-0.12$  В) скорость реакции замедляется. Затем наблюдается монотонный рост тока, а при  $E = -(0.6-0.9)$  В значение тока при скоростях вращения электрода до 1500 об/мин соответствует предельному диффузионному току четырехэлектронной реакции. В отличие от этого на халькопирите (рис. 2) при смещении  $E$  в катодную сторону от  $E_{стаци}$  происходит монотонный рост тока ( $dE/d\lg I \approx 0.25$  В). Значения предельных диффузионных токов четырехэлектронной реакции достигаются при  $E = -(0.8-1.0)$  В и при скоростях вращения электрода не выше 1500 об/мин.

Вольтамперограммы (ВА), полученные на этих электродах в атмосфере инертного газа и характеризующие состояние поверхности в области

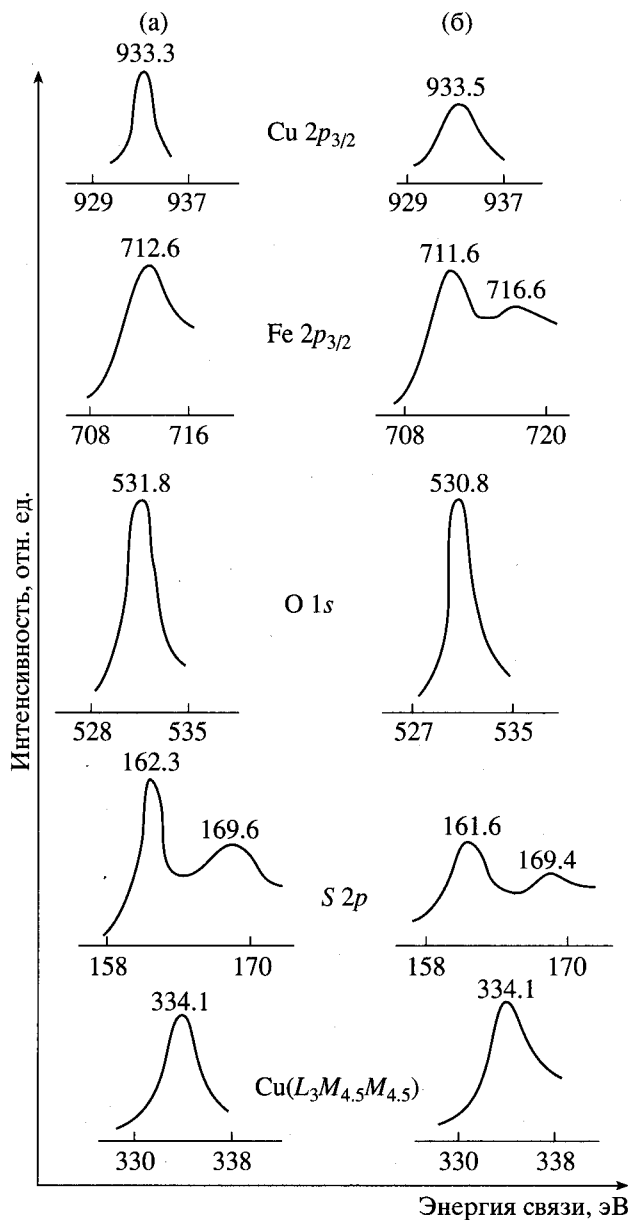


Рис. 3. РФЭ-спектры Cu<sub>2p<sub>3/2</sub></sub>, Fe<sub>2p<sub>3/2</sub></sub>, O<sub>1s</sub>, S<sub>2p</sub> и Оже-спектр Cu(L<sub>3</sub>M<sub>4,5</sub>M<sub>4,5</sub>) образцов Cu<sub>3</sub>FeS<sub>4</sub> (а) и CuFeS<sub>2</sub> (б), измельченных на воздухе.

потенциалов восстановления кислорода, также значительно отличаются (рис. 1 и 2, кривые 1'). Кривые, полученные на борните, характеризуются тремя катодными максимумами, на халькопирите – одним. По данным РФЭС, количественное соотношение элементов в первых 4–5 атомных слоях борнита и халькопирита следующее: O<sub>7,02</sub>S<sub>4,74</sub>Fe<sub>1,0</sub>Cu<sub>0,48</sub> – борнит, O<sub>5,10</sub>S<sub>1,57</sub>Fe<sub>1,0</sub>Cu<sub>0,39</sub> – халькопирит.

Как видно из этих данных, поверхность обоих минералов, измельченных на воздухе, обогащена кислородом и обеднена медью. Кроме того, по-

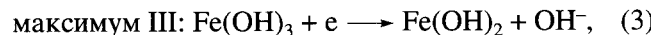
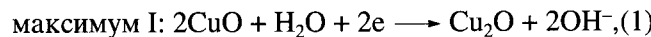
верхность борнита обогащена серой. РФЭ-спектры для 2p и 1s уровней соответственно серы, железа и кислорода (S2p, Fe2p<sub>3/2</sub>, O1s) образцов минералов, подвергнутых сухому измельчению на воздухе, приведены на рис. 3. В спектре S2p для обоих минералов наблюдаются два максимума – интенсивный максимум с энергией связи E<sub>cb</sub> ~ 162 эВ, характерный для отрицательно заряженных ионов S<sup>2-</sup>, и максимум при E<sub>cb</sub> 169 эВ, связанный с SO<sub>4</sub><sup>2-</sup>-ионами [7]. Из соотношения этих максимумов видно, что вклад сульфатной серы в борните больше, чем в халькопирите. Спектр S2p указывает на отсутствие элементарной серы, которая должна иметь E<sub>cb</sub> ~ 163 эВ либо приводить к уширению пика, присущего S<sup>2-</sup>. Спектр O1s для обоих минералов имеет один пик (рис. 3) при E<sub>cb</sub> от 531 до 532 эВ, что характерно для кислорода, связанного в гидратированный оксид [8]. Положение максимума Fe2p<sub>3/2</sub> для борнита и халькопирита отличается на 1 эВ в сторону более высоких значений энергии для борнита. Это указывает на то, что железо в поверхностных слоях халькопирита находится в форме оксида Fe<sub>2</sub>O<sub>3</sub>, а в случае борнита в виде сульфата Fe<sub>2</sub>(SO<sub>4</sub>)<sub>3</sub>.

Обращает на себя внимание отсутствие максимума при 708 эВ, характерного для Fe и связанного с S<sup>2-</sup> [9]. Величины E<sub>cb</sub> Fe2p<sub>3/2</sub> существенно отличаются от значений E<sub>cb</sub>, характерных для неокисленного состояния этих минералов.

Согласно данным, полученным в работах [10, 11], E<sub>cb</sub> Fe2p<sub>3/2</sub> составляет 711.4 эВ, а E<sub>cb</sub> Cu2p<sub>3/2</sub> – 932.0–932.2 эВ. Сопоставление с литературными данными [10–12] показывает, что наблюдаемая в спектре Cu2p<sub>3/2</sub> величина E<sub>cb</sub> характерна для Cu(2+) в CuO. Это подтверждается также данными Оже-переходов. Модифицированный оже-спектр Cu(L<sub>3</sub>M<sub>4,5</sub>M<sub>4,5</sub>) имеет максимум с E<sub>cb</sub>, равным 335.9 и 335.8 эВ для борнита и халькопирита соответственно. Сравнение количественного соотношения оксидов меди и железа на борните и халькопирите (по интегральным площадям под максимумами в РФЭ-спектрах) позволяет сделать вывод, что этот слой оксида на борните толще, чем на халькопирите. Следует отметить, что CuO и CuS имеют довольно близкие значения E<sub>cb</sub> Cu2p<sub>3/2</sub> [13, 14]. Однако, согласно [14], величина E<sub>cb</sub> Cu2p<sub>3/2</sub> 933 эВ позволяет предполагать наличие соединения CuO. Таким образом, анализ РФЭ-спектров образцов борнита и халькопирита, измельченных на воздухе (табл. 1), показал, что под воздействием кислорода воздуха поверхность борнита и халькопирита покрывается оксидами меди (2+) и железа (3+).

Информация о составе поверхности минералов при потенциалах электровосстановления O<sub>2</sub>

может быть получена также с помощью электрохимических спектров, т.е. ВА этих минералов (рис. 1 и 2, кривые 1'). Как видно из рис. 1 (кривая 1') на катодной ВА борнита в инертной атмосфере имеются три максимума. Эти максимумы могут быть связаны с реакциями:



т.е. происходит последовательное восстановление оксида и сульфида меди ( $2+$ ), а при потенциалах отрицательнее  $-0.6$  В – оксида железа ( $3+$ ). Соответственно по мере смещения потенциала в катодную сторону восстановление кислорода должно протекать на всех этих соединениях. Для проверки этих предположений были сняты поляризационные кривые восстановления кислорода на  $\text{CuO}$ ,  $\text{Cu}_2\text{O}$  (рис. 4) и  $\text{Cu}_2\text{S}$  (рис. 5). Как видно из данных рис. 4, электровосстановление  $\text{O}_2$  на  $\text{CuO}$  и  $\text{Cu}_2\text{O}$  протекает с низкой скоростью, площадка предельного диффузионного тока не наблюдается, и величина тока незначительна. Резкий подъем тока при  $E < -0.6$  В связан с разложением этих оксидов. На медном электроде поляризационная кривая (рис. 4) характеризуется единой волной с хорошо выраженной площадкой предельного диффузионного тока при  $E = -(0.8-1.2)$  В, соответствующего четырехэлектронной реакции [15]. Таким образом, реакция электровосстановления  $\text{O}_2$  на нанесенных на пирографит с помощью связующего тонких ( $1 \text{ мг}/\text{см}^2$ ) слоях оксидов  $\text{CuO}$  и  $\text{Cu}_2\text{O}$  протекает с небольшой скоростью. Согласно данным [16], на медном электроде при  $\text{pH} 7.3$  в интервале потенциалов  $-(0.45-0.05)$  В (нас.к.э.) присутствует адсорбированный монослой  $\text{Cu}_2\text{O}$ , при более положительных потенциалах –  $\text{CuO}$ . Можно предполагать, что образование даже тонкого слоя оксидов меди тормозит реакцию восстановления кислорода, которая протекает только на свободной от оксидов поверхности меди. Это позволяет считать, что в случае электрода из борнита реакция идет на освобождающейся в результате протекания реакции с максимумом I поверхности минерала, т.е. на сульфиде меди. В пользу такого предположения свидетельствуют приведенные на рис. 5 поляризационные кривые восстановления кислорода на  $\text{Cu}_2\text{S}$ . Обращает на себя внимание близкое сходство формы кривых на халькозине и борните, а также сходство ВА (максимумы I и II) в инертной атмосфере. Максимумы I и II наблюдаются при тех же потенциалах, что и в случае борнита, и соответствуют процессам, описываемым реакциями (1) и (2).

Такая схема протекания поверхностных процессов и их влияние на реакцию электровосстановления  $\text{O}_2$  подтверждается и результатами

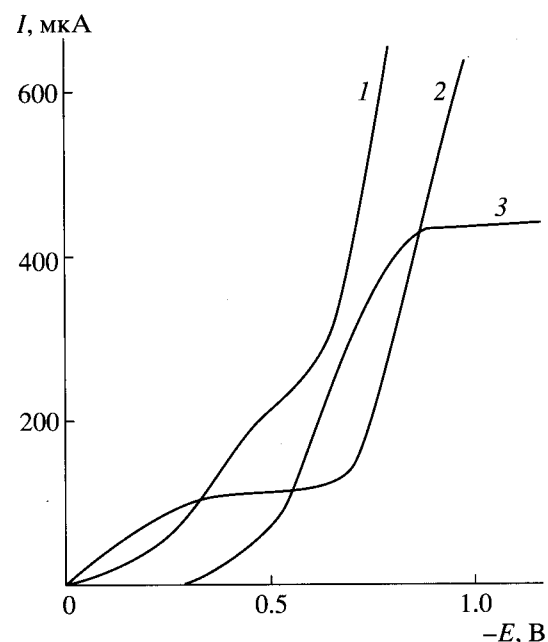


Рис. 4. Поляризационные кривые электровосстановления  $\text{O}_2$  на: 1 –  $\text{CuO}$ , 2 –  $\text{Cu}_2\text{O}$ , и 3 –  $\text{Cu}$  в  $0.1 \text{ M Na}_2\text{B}_4\text{O}_7$  при  $v = 2 \text{ мВ/с}$  и скорости вращения электрода 630 об/мин.

РФЭС (табл. 2). Поскольку, как отмечалось выше, спектр  $\text{Cu}2p_{3/2}$  для оксидов и сульфидов меди практически одинаков, более информативным является Оже-спектр  $\text{Cu}(\text{L}_3\text{M}_{4,5}\text{M}_{4,5})$ . Поэтому для анализа состояния меди в исследуемых образцах  $\text{Cu}_2\text{S}$  использовались двухкоординатные диаграммы  $E_{\text{cb}} \text{Cu}2p_{3/2}-\alpha'\text{Cu}$  (табл. 2). В сочетании с анализом  $\text{S}2p$  это позволило сделать вывод, что при стационарном потенциале поверхностный слой  $\text{Cu}_2\text{S}$  состоит из  $\text{CuO}$ ,  $\text{CuS}$ ,  $\text{S}_8$  и  $\text{CuSO}_4$ . После восстановления при потенциале  $-0.2$  В, т.е. при потенциале катоднее максимума I,  $\text{CuO}$  и  $\text{S}_8$  отсутствуют, а на поверхности имеются  $\text{CuS}$  и  $\text{CuSO}_4$ .

Следовательно, процесс коррозии  $\text{Cu}_2\text{S}$  в водных щелочных растворах при стационарном по-

Таблица 1. Характеристики РФЭ-спектров борнита и халькопирита после их контакта с  $0.1 \text{ M}$  раствором  $\text{Na}_2\text{B}_4\text{O}_7$  на воздухе

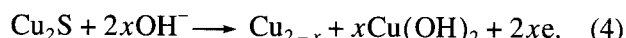
Минерал	$E_{\text{cb}}$ , эВ			
	O1s	S2p	Fe2p <sub>3/2</sub>	Cu2p <sub>3/2</sub>
$\text{Cu}_5\text{FeS}_4$	531.8 –	162.3 169.5	712.6 –	933.3 –
$\text{CuFeS}_2$	530.8 –	161.6 169.4	711.6 –	933.3 –

Таблица 2. Характеристики РФЭ-спектров Cu<sub>2</sub>S

Образец Cu <sub>2</sub> S при E, В	E <sub>cb</sub> , эВ			S2p		n <sub>O</sub> /n <sub>Cu</sub>	n <sub>S</sub> /n <sub>Cu</sub>
	O1s	Cu2p <sub>3/2</sub>	α'Cu	E <sub>cb</sub> , эВ	отношение форм		
Стаци.	531.2	934.1	1851.5	161.7	2	25.34	6.24
				164.4	1		
				168.8	5		
				162.1	5		
	531.9	935.2	1851.9	168.7	1	12.00	2.85

Примечание. Величина α'Cu = E<sub>cb</sub> Cu2p<sub>3/2</sub> + E<sub>кин</sub> Cu(L<sub>3</sub>M<sub>4,5</sub>M<sub>4,5</sub>).

тенциале в общем виде может быть представлен уравнением реакции:



В результате происходит обогащение поверхности минерала серой и кислородом.

Таким образом, сульфиды меди (CuS и Cu<sub>2</sub>S) являются достаточно активными катализаторами реакции восстановления кислорода при небольших поляризациях (0.25 В относительно E<sub>стаци</sub>). Наличие на поверхности борнита сульфидов меди также катализирует эту реакцию. Можно предполагать, что активными центрами в этом случае

являются ионы меди (1+). Площадка предельного диффузионного тока четырехэлектронной реакции наблюдается при потенциалах, соответствующих восстановленным до меди оксидам меди и наличию ионов железа (2+). Находящиеся на поверхности халькопирита оксиды железа ответственны за монотонный рост тока при потенциалах от стационарного до -0.6 В (рис. 2). Площадка предельного диффузионного тока четырехэлектронной реакции наблюдается при потенциалах, соответствующих редокс-реакции Fe<sup>3+</sup>/Fe<sup>2+</sup>, как это наблюдалось и на пирите [3].

На основании комплексного исследования состояния поверхности сульфидных медью содержащих минералов и их электрокаталитической активности в реакции катодного восстановления кислорода можно сделать следующие выводы. На Cu<sub>2</sub>S и CuS, а также обогащенном медью борните реакция электровосстановления кислорода протекает при значительно более положительных потенциалах, т.е. имеет место снижение перенапряжения по сравнению с пиритом [3] и халькопиритом. Активными центрами реакции в случае Cu<sub>2</sub>S и CuS являются ионы меди (1+), связанные с сульфидной серой, а при значительных величинах перенапряжения ионы железа (2+) в борните и халькопирите.

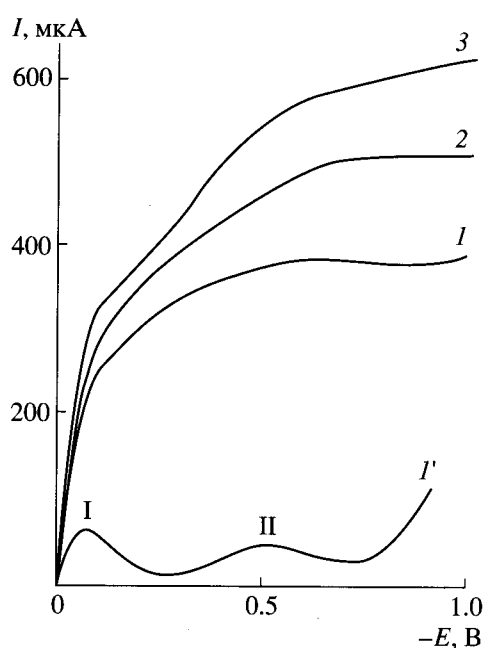


Рис. 5. Поляризационные кривые электровосстановления O<sub>2</sub> на Cu<sub>2</sub>S в 0.1 M Na<sub>2</sub>B<sub>4</sub>O<sub>7</sub> при v=2 мВ/с и скоростях вращения электрода, об/мин: I – 630, 2 – 1120, 3 – 2700. Кривая I' – катодная вольтамперограмма в атмосфере He при v=100 мВ/с.

## СПИСОК ЛИТЕРАТУРЫ

1. Вигдергауз В.Е., Радюшкина К.А. Повышение полноты и комплексности извлечения ценных компонентов при переработке минерального сырья. М.: ИПКОН АН СССР, 1986. С. 8.
2. Сисенов Г.К., Тарасевич М.Р. // Журн. прикл. химии. 1988. Т. 61. С. 1247.
3. Кудайкулова Г.А., Тарасевич М.Н., Радюшкина К.А. // Электрохимия. 1990. Т. 26. С. 1025.
4. Biegler T., Rand D.A., Woods R.J. // J. Electroanalyt. Chem. 1975. V. 60. P. 151.
5. Biegler T., Rand D.A., Woods R.J. // J. Electroanalyt. Chem. 1976. V. 70. P. 265.

6. Pillai K.C., Bockris J.O.M. // J. Electrochem. Soc. 1984. V. 131. P. 568.
7. Panzner G., Egert R. // Surface Sci. 1984. V. 144. P. 651.
8. Нефедов В.И., Черепин В.Т. Физические методы исследования поверхности твердых тел. М.: Наука, 1983. С. 33.
9. Ennaonui A., Fiechter S., Jaegermann W., Tributsch H. // J. Electrochem. Soc. 1986. V. 133. P. 97.
10. Allen Y.C., Curtis M.T., Hopper A.I. et al. // J. Chem. Soc. Dalton Trans. 1974. V. 14. P. 1525.
11. Brion D. // Appl. Surface Sci. 1980. V. 5. P. 133.
12. Wagner C.D., Gale L.H., Raymond B.H. // Anal. Chem. 1979. V. 51. P. 466.
13. Nakai J., Sugitani J. // J. Inorg. Nucl. Chem. 1978. V. 40. P. 789.
14. Panzner G., Egert R., Schmidt H.P. // Surface Sci. 1985. V. 151. P. 400.
15. Parker A.J., Paul R.L., Power G.P. // Austr. J. Chem. 1981. V. 34. P. 13.
16. Burstein G.T., Newman R.C. // J. Electrochem. Soc. 1981. V. 128. P. 2270.